



## مدل سازی یک بعدی و بهینه سازی پرتابگر گازی دو مرحله‌ای به روش پاسخ سطح

محسن محمدی<sup>۱</sup>، جمال ارغوانی‌هادی<sup>۲\*</sup>

۱- دانشجوی کارشناسی ارشد، دانشکده مهندسی مکانیک، دانشگاه صنعتی شریف، تهران

۲- استادیار، دانشکده مهندسی مکانیک، دانشگاه صنعتی شریف، تهران

\*تهران، صندوق پستی ۱۱۱۵۵-۹۵۶۷

### چکیده

پرتابگرهای گازی، بخش مهمی از دستگاههای آزمایش ضربه هستند که کاربردهای فراوانی در شناخت خواص مواد دارند. انجام برخی آزمایش‌ها نیاز به پرتاب در سرعت‌های بالا دارد که پرتابگرهای تک مرحله‌ای قادر به پرتاب در چین محدوده سرعتی نمی‌باشند، لذا از پرتابگرهای دو مرحله‌ای ای بدین منظور استفاده می‌گردد. پارامترهای متعددی عملکرد این گونه پرتابگرهای را تحت تأثیر قرار می‌دهد. برای تنظیم بهینه این پارامترها، مدل سازی و بهینه‌سازی پرتابگر امری ضروری و غیر قابل اجتناب است. بدین منظور در این مقاله مدلی یک بعدی برای تعیین کارآبی پرتابگر و بهینه‌سازی آن پیشنهاد می‌گردد که در آن از اطلاعات تجربی نزخ سوتخت چهت مدل سازی احتراق استفاده گردیده است. برای بررسی صحت مدل پیشنهادی و شبیه‌سازی پرتابگر، نتایج برای چندین حالت با نتایج تجربی مقایسه شده است که نشان می‌دهد مدل مورد استفاده از دقت کافی برخوردار است. نتایج حاصل از مدل سازی یک بعدی برای بهینه‌سازی عملکرد پرتابگر و تعیین مقادیر بهینه پارامترهای مختلف استفاده می‌گردد. علاوه بر این، مدل یک بعدی ارائه شده می‌تواند برای محاسبات طراحی اولیه پرتابگر و بررسی امکان پذیری ساخت و تخمین هزینه‌ها مورد استفاده قرار گیرد. در این تحقیق از روش آماری پاسخ سطح برای یافتن دلایل چندجمله‌ای درجه دو برای پاسخ سرعت و فشار استفاده شده است و سپس از این مدل‌ها چهت کمینه‌سازی فشار بیشینه وارد بر پرتابه در شرایط مختلف، از روش سیمپلکس استفاده شده است. در نهایت چهت تسهیل استفاده از پرتابگر گازی دو مرحله‌ای، منحنی و جدول عملکردی پرتابگر ارائه شده است که برای عملکرد بهینه پرتابگر می‌تواند مورد استفاده قرار گیرد.

### اطلاعات مقاله

مقاله پژوهشی کامل

دریافت: ۱۰ آذر ۱۳۹۴

پذیرش: ۲۶ دی ۱۳۹۴

ارائه در سایت: ۱۹ بهمن ۱۳۹۴

کلید واژگان:

پرتابگر گازی دو مرحله‌ای

شبیه‌سازی

بهینه‌سازی

روش پاسخ سطح

## One-dimensional modeling and optimization of two-stage light gas launcher with response surface methodology

Mohsen Mohammadi, Jamal Arghavani\*

Department of Mechanical Engineering, Sharif University of Technology, Tehran, Iran  
\* P.O.B. 11155-9567, Tehran, Iran, arghavani@sharif.edu

### ARTICLE INFORMATION

Original Research Paper

Received 01 December 2015

Accepted 16 January 2016

Available Online 08 February 2016

Keywords:

Two-stage light gas launcher  
Simulation  
Optimization  
response surface methodology

### ABSTRACT

Gas launchers are an important part of impact testing apparatus which have many applications in material parameters identification. Some experiments call for very high velocity which is beyond the limit of one-stage gas launchers; thus, two-stage gas launchers are employed. Several parameters affect the operation of such launchers. For optimum adjustment of such parameters, modeling and simulation is necessary and inevitable. To this end, in this paper, a one dimensional model for a two-stage light gas launcher is proposed and utilized for performance optimization. To simulate combustion, experimental data for burning rate has been used. The proposed model is verified by comparing its predictions with the available experimental data. It is shown that the proposed model is accurate enough to predict the two-stage light gas launcher performance. The results of one dimensional model can be used in the basic design of the launcher to investigate the feasibility of manufacturing and estimate the costs. Moreover, the model is used to optimize the launcher performance as well as to determine optimum parameters. The statistical method of response surface is employed to find suitable second order polynomial models to predict the projectile velocity and maximum base pressure. The presented models are used to maximize the projectile velocity as well as to minimize the maximum projectile base pressure. To this end, Simplex method is employed to minimize the maximum base pressure in different conditions. Finally, the table of optimum conditions is presented to simplify the optimum use of the two-stage light gas launcher.

### بارگذاری‌های ضربه‌ای عمدتاً متفاوت از رفتار آن‌ها در بارگذاری‌های استاتیکی

در بسیاری از قطعات، سازه‌های مهندسی و برخی فرآیندهای شکل‌دهی، یا شبیه‌استاتیکی است، بنابراین لازم است رفتار مواد و سازه‌ها در بارگذاری‌های ضربه‌ای به صورت آزمایشگاهی مورد مطالعه قرار گیرد. بدین

Please cite this article using:

M. Mohammadi, J. Arghavani, One-dimensional modeling and optimization of two-stage light gas launcher with response surface methodology, *Modares Mechanical Engineering*, Vol. 16, No. 2, pp. 129-139, 2016 (in Persian)

برای ارجاع به این مقاله از عبارت ذیل استفاده نمایید:

که در آن از گاز سبک هلیوم استفاده شد، توسط کروزیر و هوم<sup>2</sup> در سال 1946 ساخته شد [11]. از آن زمان به بعد، پرتاپگرهای گازی دومرحله‌ای متنوعی ساخته شده‌اند. تفاوت عده آن‌ها در نحوه فشرده‌سازی گاز سبک به فشار موردنیاز برای ایجاد سرعت بالا است. توسعه کامپیوترهای سرعت بالا و روش‌های جدید اندازه‌گیری در دستیابی به فهم بهتر فرآیند پرتاپ، که فرآیند پیچیده است، کمک نموده است. توسعه فناوری پرتاپگرهای گازی دومرحله‌ای توسط آزمایشگاه‌های تحقیقاتی در آمریکا، کانادا و انگلستان به منظور حصول سرعتی به بزرگی 11 کیلومتر بر ثانیه، انجام گرفته است [12-14].

با گذشت حدود نیم قرن از عمر پرتاپگر گازی دومرحله‌ای، تحقیقات مختلفی (عمدها توسط آزمایشگاه‌های سندیا و لوس آلاموس<sup>3</sup> آمریکا) انجام گرفته است. امروزه با رشد علمی کشور و نیاز به انجام تحقیقات مورد نیاز صنایع در این حوزه، نیاز به طراحی و ساخت پرتاپگر گازی دومرحله‌ای به شدت احساس می‌گردد؛ لذا آزمایشگاه مکانیک ضربه و نفوذ دانشگاه صنعتی شریف برای طراحی و ساخت چنین پرتاپگری مطالعات اولیه و امکان سنجی را از سال 1392 شروع نمود. یکی از گام‌های مهم در طراحی پرتاپگر مذکور، طراحی اولیه<sup>4</sup> برای تعیین ابعاد، اندازه‌ها، فشار گاز، خصوصیات مواد مورد نیاز و همچنین بینه‌سازی راندمان پرتاپگر می‌باشد. این اطلاعات در مرحله طراحی جزئیات مورد نیاز خواهد بود.

در این مقاله، هدف ارائه یک مدل ساده یک‌بعدی برای تعیین کارایی پرتاپگر پیشنهادی برای ساخت در داخل کشور و همچنین بینه‌سازی آن با استفاده از روش پاسخ سطح<sup>5</sup> می‌باشد. برای رسیدن به سرعت بیشینه و حداقل نمودن فشار بیشینه، عملکرد بهینه پرتاپگر تعیین خواهد گردید. بدین منظور در سرعت‌های مختلف، پارامترهای پرتاپگر تعیین می‌گردد و جدولی جهت استفاده بهینه استخراج می‌گردد. در نهایت نمودار کارکرد بهینه پرتاپگر ارائه می‌گردد.

بدین منظور پس از این مقدمه در بخش 2 به معرفی پرتاپگر گازی دومرحله‌ای پرداخته می‌شود و سپس در بخش 3 مدل یک‌بعدی پرتاپگر و معادلات مربوطه ارائه خواهد شد. در بخش 4 به حل عددی معادلات بدبست-آمده پرداخته می‌شود و با ارائه نتایج مختلف و مقایسه آن با نتایج موجود، مدل ارائه شده صحه‌گذاری می‌گردد. پس از آن در بخش 5 از مدل معرفی شده برای تحلیل و بهینه‌سازی عملکرد پرتاپگر با روش پاسخ سطح استفاده می‌شود. در نهایت در بخش 6 جمع‌بندی ارائه می‌گردد.

## 2- معرفی پرتاپگر گازی دومرحله‌ای

اجزای مختلف پرتاپگر گازی دومرحله‌ای در شکل 2 نشان داده شده‌است. قسمت سمت چپ پرتاپگر از یک محفظه احتراق و یک لوله تشکیل شده‌است که همانند پرتاپگرهای تکمرحله‌ای است با این تفاوت که پرتاپ به یک پیستون جایگزین شده و مخزن فشاربالا و شیر با محفظه احتراق جایگزین شده‌اند. لوله‌ای که پیستون درون آن قرار می‌گیرد، لوله پمپ نام دارد. در انتهای لوله پمپ محفظه‌ای با قطر خارجی زیاد قرار دارد که محفظه میانی نام دارد، لوله‌ای که در سمت راست محفظه میانی قرار دارد لوله پرتاپ نامیده می‌شود. قبل از پرتاپ، ابتدا پرتاپ در ابتدای لوله پرتاپ قرار داده شده و شیر سریع بازشونده در حالت بسته قرار می‌گیرد، این شیر در فشار خاصی باز

2- Crozier and Hume

3- Sandia and Los Alamos

4- Basic design

5- Response surface methodology

منظور آزمایش‌های مختلفی مانند آزمایش ضربه تیلور، آزمایش میله‌های فشاری هاپکینسون، آزمایش سقوط وزنه و آزمایش تست ضربه صفحه مورد استفاده قرار می‌گیرند. در اغلب آزمایش‌های ضربه از یک دستگاه پرتاپگر برای سرعت‌دهی به پرتاپ در انجام تست استفاده می‌شود. به همین دلیل پرتاپگر قلب اصلی یک دستگاه آزمایش ضربه است. با توجه به جرم و ابعاد پرتاپ، سرعت پرتاپ و خصوصیات فیزیکی ماده از روش‌های مختلفی برای پرتاپ و طراحی پرتاپگر استفاده می‌شود [1]. در این میان پرتاپگرهای گازی به دلیل سادگی، در دسترس بودن، هزینه پایین و قابلیت کنترل دقیق سرعت به وفور مورد استفاده قرار می‌گیرند.

پرتاپگرهای گازی براساس شتاب دادن به یک پرتاپ با استفاده از یک گاز فشرده‌شده عمل می‌نمایند. از آنجایی که در حین تبدیل انرژی پتانسیل گاز فشرده به انرژی جنبشی پرتاپ برای سرعت‌دهی به آن، بخشی از انرژی نیز می‌باشد صرف سرعت‌دهی به مولکول‌های خود گاز شود، سرعت پرتاپ محدود می‌گردد. توزیع مطلوب‌تر انرژی بین گاز و پرتاپ برای ایجاد سرعت بیشتر با استفاده از گازهای سبک همچون هیدروژن و هلیوم بدبست می‌آید [2]. شکل 1 طرح ساده‌ای از پرتاپگر گازی تکمرحله‌ای را نشان می‌دهد. هم‌اکنون چندین پرتاپگر گازی تکمرحله‌ای در آزمایشگاه مکانیک ضربه و نفوذ دانشکده مهندسی مکانیک دانشگاه صنعتی شریف برای انجام تست‌های نفوذ، تست ضربه تیلور و تست هاپکینسون مورد استفاده قرار می‌گیرند. دستگاه پرتاپگر گازی مورد استفاده، از گاز سبک پرتاپ نمونه‌هایی با حداکثر قطر 18 میلی‌متر و وزن 20 گرم تا سرعت نزدیک به 1000 متر بر ثانیه در تست‌های نفوذ استفاده می‌نماید.

از نظر تئوری بسته به نوع گاز (سرعت انتشار موج در گاز)، حداکثر سرعت پرتاپه از رابطه زیر بدست می‌آید [3]:

$$(1) \quad v_{\max} = \frac{2a_0}{\gamma - 1}$$

که  $a_0$  سرعت انتشار موج در گاز و  $\gamma$  نسبت ظرفیت گرمایی گاز است.

بر اساس معادله (1) حداکثر سرعت پرتاپه برای هیدروژن 6197 و برای هلیوم 2926 و برای هوا 1715 متر بر ثانیه است. با توجه به این معادله، در کاربردهایی که به سرعت پرتاپ بزرگ‌تری نیاز باشد، پرتاپگر تکمرحله‌ای مناسب نخواهد بود و به همین دلیل از پرتاپگر گازی تکمرحله‌ای استفاده می‌گردد. به عنوان مثال برخورد میکروشهاب‌سنگ‌ها و زباله‌های فضایی باعث کاهش عمر و گاهی تخریب ماهواره‌ها می‌گردد، این پرتاپهای به طور میانگین سرعتی در حدود 10 کیلومتر بر ثانیه دارند که می‌توان به وسیله پرتاپگرهای دومرحله‌ای این سرعت‌ها را ایجاد کرد و با انجام آزمایش، سپرهای محافظتی مناسب را طراحی نمود [6-4]. معادله حالت موج در فشارهای بسیار بالا در بسیاری از مسائل فیزیک، ژئوفیزیک و ستاره‌شناسی کاربرد دارد، با استفاده از تراکم شوکی<sup>1</sup> می‌توان به فشار و دماهای بالا رسید. پرتاپگر دومرحله‌ای با گاز سبک به دلیل توانایی تولید شوک‌های صفحه‌ای یکی از مهم‌ترین ابزارهای تولید و بررسی تراکم شوکی است [10-7]. اولین پرتاپگر گازی دومرحله‌ای

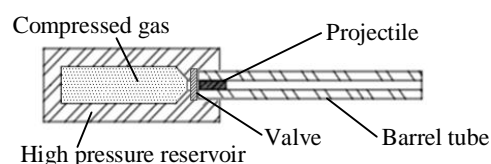


Fig. 1 Scheme of one-stage gas launcher

شکل 1 طرح ساده پرتاپگر گازی تکمرحله‌ای

1- Shock compression

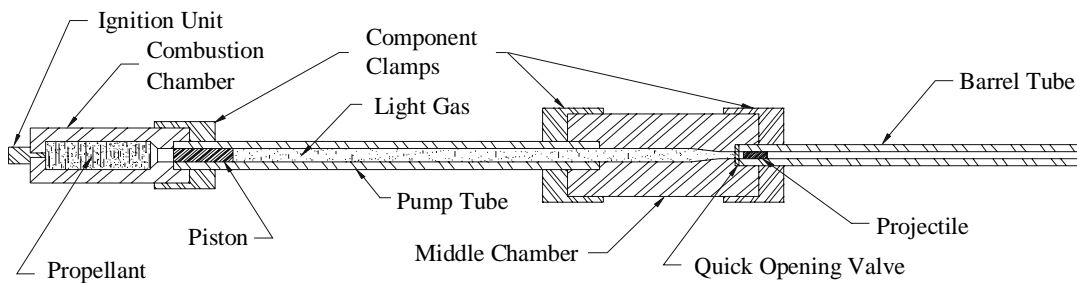


Fig. 2 Different parts of two-stage gas launcher [15]

نیاز به اطلاع از مشخصات عملکردی پرتاپگر، دو روش برای طراحی و ساخت مطلوب وجود دارد، اول ساخت با ابعاد تقریبی و رسیدن به ابعاد بهتر با آزمایش و دیگری مدل‌سازی و بهینه‌سازی به منظور رسیدن به تقریب‌های بهتر. قطعات پرتاپگر دارای ویژگی‌های خاصی از قبیل تحمل فشار و دمای بالا و مقاومت در برابر سایش هستند که ساخت دستگاه را به فرآیندی پرهزینه تبدیل می‌کند، از این رو روش مناسب‌تر برای تعیین ابعاد دستگاه و ویژگی‌های قطعات مختلف پرتاپگر، مدل‌سازی و بهینه‌سازی پرتاپگر است.

### 3- ارائه مدل یک‌بعدی جهت بررسی کارایی پرتاپگر

به منظور درک بهتر فرآیند پرتاپ و اثر هر یک از پارامترهای مؤثر در خروجی پرتاپگر، مدل‌سازی‌هایی صورت گرفته است. مدل‌سازی‌ها و شبیه‌سازی‌های انجام‌شده تاکنون به سه دسته کلی تقسیم می‌شوند: 1- مدل‌های مبتنی بر فرض جرم متمرکز - 2- روش مشخصه‌ها - 3- روش‌های دینامیک سیالات محاسباتی. استفاده از همکاران عملکرد پرتاپگر با استفاده از گاز سبک هیدروژن و تراکم شوکی را به روش مشخصه‌ها بررسی کردند. آنان با استفاده از روابطی بعد، اثرات پارامترهای جرم، سرعت پیستون و اثر پیش‌گرم کردن گاز سبک را بر روی عملکرد پرتاپگر مورد مطالعه قراردادند و مقادیر را با مقادیر آزمایشگاهی مقایسه کردند [16]. یک مدل‌سازی یک‌بعدی به روش جرم متمرکز توسط پاتین<sup>1</sup> و همکاران ارائه شد که فرآیند پرتاپ را به چهار قسمت تقسیم کرده و روابط موجود را برای هر یک به صورت جداگانه به دست آورده‌اند. درنهایت مسئله به حل دستگاه معادلات دیفرانسیل غیرخطی می‌اجامد که با حل آن به صورت عددی، عملکرد پرتاپگر شبیه‌سازی می‌شود [17].

در این قسمت، هدف ارائه مدلی برای پیش‌بینی کارایی پرتاپگر گازی دومرحله‌ای می‌باشد. بدین منظور، معادله مربوط به سوتین پیشرانه جامد با توجه به اطلاعات نوع پیشرانه مورد استفاده در داخل کشور انتخاب گردیده و پارامترهای آن از اطلاعات تجربی موجود تعیین گردیده است. علاوه بر این، مدل دقیق‌تری از اکستروژن پیستون در محفظه میانی ارائه گردیده است.

به صورت کلی در این مدل چهار فرآیند فیزیکی موجود به صورت جداگانه مدل‌سازی می‌شوند. همچنین برای ارتباط دادن این روابط به یکدیگر از روابط ترمودینامیکی و سینماتیکی استفاده می‌شود. معادلات حاصل با استفاده از نرم افزار متلب<sup>2</sup> در بخش 4 حل می‌گردد. با حل این مدل، امکان مطالعه عملکرد و بهینه‌سازی پرتاپگر محدود می‌گردد که در

شکل 2 اجزای مختلف پرتاپگر دومرحله‌ای [15]

می‌شود. پس از آن پیستون که قسمت عقبی و جلویی لوله پمپ را از هم جدا می‌نماید و نقش آبندی بین گازهای سبک و گازهای سنگین حاصل از احتراق را ایفا می‌کند، در داخل لوله پمپ قرار داده می‌شود. سپس لوله پمپ با گاز سبکی مثل هلیوم با فشار اولیه مورد نیاز پر می‌شود و در نهایت پیشرانه در محفظه احتراق قرار داده می‌شود.

مراحل مختلف عملکرد پرتاپگر دومرحله‌ای با گاز سبک در شکل 3 مشاهده می‌شود. ابتدا پیشرانه جامد محترق شده و شروع به تولید گاز با فشار بالا می‌کند، فشار بالای گازهای حاصل از احتراق، پیستون را درون لوله پمپ جابجا کرده و به آن سرعت می‌دهد. با حرکت پیستون درون لوله پمپ، گاز سبک فشرده شده و به فشار بالایی می‌رسد. هنگامی که فشار گاز سبک به مقدار معینی رسید، شیر سریع بازشونده عمل کرده و گاز سبک وارد لوله پرتاپ می‌شود و پرتاپ را به جلو می‌راند. در هنگام حرکت پرتاپ درون لوله پرتاپ، پیستون به حرکت خود ادامه می‌دهد و گاز سبک را به صورت پیوسته داخل لوله پرتاپ پمپ می‌کند که باعث عدم افت قابل توجه در فشار وارد به پرتاپ می‌شود. هنگامی که پیستون به قسمت مخروطی انتهای محفظه میانی می‌رسد دچار تغییر شکل پلاستیک شده و نیروی تغییر شکل و نیروی وارد به آن از طرف سطح مخروطی باعث متوقف کردن پیستون برای جلوگیری از آسیب زدن به لوله پرتاپ می‌شود. پرتاپ درون لوله پرتاپ به حرکت خود ادامه داده و سرعت آن افزایش می‌یابد و در نهایت از لوله پرتاپ خارج می‌شود.

ساخت پرتاپگر دومرحله‌ای نیازمند اطلاعات دقیقی از فرآیندهای موجود در پرتاپگر است، مشخصات فرآیندهای مختلف در پرتاپگر می‌تواند جهت تعیین اندازه و جنس قطعات مختلف پرتاپگر به کار رود. با توجه به

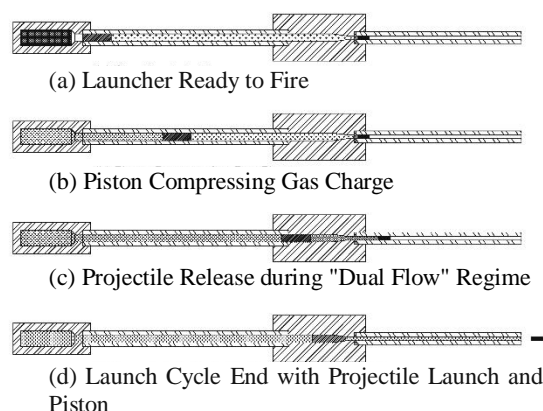


Fig. 3 Light-gas launcher sketches showing various stages in the firing process [15]

شکل 3 مراحل مختلف عملکرد پرتاپگر دومرحله‌ای با گاز سبک [15]

1- Stephenson

2- Patin

3- Matlab

$$F_p = R_p T_0 \quad (8)$$

انرژی آزادشده از گاز حاصل از احتراق به صورت زیر بدست می‌آید.

$$E_1 = N_b c_v (T_0 - T_f) \quad (9)$$

که  $T_0$  دمای اولیه گاز،  $T_f$  دمای نهایی گاز و  $c_v$  ظرفیت گرمایی گاز در حجم ثابت است. انرژی جنبشی پیستون به صورت زیر محاسبه می‌شود.

$$E_2 = \frac{1}{2} m_p \dot{X}_p^2 \quad (10)$$

که  $m_p$  جرم پیستون است. فرض می‌کنیم انرژی اضافی به صورت درصدی از انرژی جنبشی پیستون و گاز حاصل از احتراق، قابل بیان باشد:

$$E_3 = \frac{1}{2} \beta m_a \dot{X}_p^2 \quad (11)$$

که  $\beta$  ضریب انتقال حرارت است و  $m_a$  جرم معادل پیستون و گاز حاصل از احتراق است که از رابطه زیر بدست می‌آید.

$$m_a = m_p + \frac{N_b}{\delta} \quad (12)$$

که  $\delta$  پارامتر توزیع جرم گاز حاصل از احتراق است. در نهایت انرژی جنبشی گاز حاصل از احتراق به صورت زیر بیان می‌شود.

$$E_4 = \frac{1}{2} \frac{N_b}{\delta} \dot{X}_p^2 \quad (13)$$

با جایگذاری معادلات (7)-(13) در معادله (6)، مشتق‌گیری نسبت به زمان و ساده‌سازی رابطه بدست آمده، معادله نرخ تغییرات فشار گاز حاصل از احتراق به صورت زیر بدست می‌آید:

$$\frac{dP_{av}}{dt} \left[ V_c + X_p A_{pt} - \frac{C_w - N_b}{\rho_p} \right] = \frac{dN_b}{dt} F_p - (\gamma_p - 1) \times (1 + \beta) m_a \frac{d\dot{X}_p}{dt} \frac{dX_p}{dt} \quad (14)$$

که در این رابطه  $A_{pt}$  مساحت سطح مقطع لوله پمپ و  $\gamma_p$  نسبت گرمای ویژه گاز حاصل از احتراق می‌باشد. در این معادله جمله نرخ تولید گاز حاصل از احتراق  $(\frac{dN_b}{dt})$  از رابطه (5) قابل محاسبه است و شتاب پیستون  $(\frac{d\dot{X}_p}{dt})$  در ادامه بررسی می‌گردد.

### 3-3- مدل‌سازی حرکت پیستون

چهار نیروی مختلف در هین پرتاگر بر روی پیستون اثر می‌نمایند: (1) نیروی گازهای حاصل از احتراق (2) نیروی اصطکاک (3) نیروی ناشی از فشار گاز سیک (4) نیروی اکستروژن وقتی پیستون به ناحیه مخروطی محفظه میانی پرتاگر می‌رسد.

فشار در طول فرآیند و در نواحی مختلف ممکن است متفاوت باشد، لذا فشار میانگین برای کل ناحیه در نظر گرفته می‌شود. برای لحاظ کردن اثرات گردیدان فشار، رابطه انتشار موج که فشار پشت پیستون را به فشار میانگین ارتباط می‌دهد، مورد استفاده قرار می‌گیرد [21]:

$$P_{pb} = P_{av} \left[ 1 + \frac{\gamma_p - 1}{2} \frac{\dot{X}_p^2}{\gamma_p F_p} \right]^{\frac{\gamma_p}{\gamma_p - 1}} \quad (15)$$

که  $P_{pb}$  فشار وارد بر پشت پیستون است. با دانستن فشار پشت پیستون، نیروی عمل کننده گاز حاصل از احتراق بر روی پیستون ( $F_{p1}$ ) قابل محاسبه می‌باشد:

$$F_{p1} = P_{pb} A_{pt} \quad (16)$$

حرکت پیستون زمانی آغاز می‌شود که فشار گاز حاصل از احتراق به حد معینی برسد. به این فشار، فشار آغاز پرتاگ (P<sub>SP</sub>) می‌گویند. اصطکاک از این نقطه به بعد وارد عمل می‌شود. مقدار اولیه نیروی اصطکاک که باید به وسیله فشار آغاز پرتاگ بر آن غلبه شود ( $F_{R1}$ ) برابر است با [18]:

$$F_{R1} = (P_{SP} - P_{LG_i}) A_{pt} \quad (17)$$

که  $P_{LG_i}$  فشار اولیه گاز سبک است. از این پس میزان نیروی اصطکاک ( $F_{p2}$ ) با توجه به میزان سرعت تغییر می‌کند و از رابطه زیر به دست می‌آید:

بخش ۵ ارائه خواهد شد.

### 1-3- مدل‌سازی نرخ احتراق

نرخ احتراق پودر بیانگر نرخ تبدیل جرم پیشرانه جامد به گاز فشار بالای حاصل از احتراق می‌باشد که به صورت زیر قابل بیان می‌باشد [18]:

$$\frac{dN_b}{dt} = r S_b \rho_p \quad (2)$$

که در آن  $S_b$  سطح محترق ذرات پودر،  $N_b$  جرم پودر محترق شده،  $\rho_p$  چگالی پودر و  $r$  رگرسیون سرعت سوختن پیشرانه است. این رگرسیون بسته به پیشرانه مورد استفاده، می‌تواند متفاوت باشد. برای عملکرد مناسب پرتاگر، با بررسی پرتاگرهای مختلف و عملکرد آنها، پیشرانه باروت بدون دود (پیشرانه با پایه دوغانه) با ترکیب 52.25% نیتروسولز، 42.75% نیتروگلیسرین و 5% دیگر افزودنی‌ها با انرژی ۱۱۰۰ کالری بر گرم استفاده می‌شود. برای این ماده، رگرسیون در فشارهای مختلف متفاوت بوده و می‌توان آن را به صورت معادله زیر بیان نمود [19]:

$$r = \begin{cases} B_1 P_{av}^{N_1} + K_V \dot{X}_p, & P_{av} \leq 11 \text{ bar} \\ B_2 P_{av}^{N_2} + K_V \dot{X}_p, & 11 \text{ bar} \leq P_{av} \leq 141 \text{ bar} \\ B_3 P_{av}^{N_3} + K_V \dot{X}_p, & 141 \text{ bar} \leq P_{av} \end{cases} \quad (3)$$

در این معادله  $B_1$ ,  $B_2$  و  $B_3$  به ترتیب ضریب نرخ احتراق در حالت اول، دوم و سوم،  $N_1$  و  $N_2$  با اندیس نرخ احتراق در حالت‌های مختلف،  $P_{av}$  فشار میانگین گاز حاصل از احتراق،  $X_p$  موقعیت پیستون و  $K_V$  ثابت فرایش پودر است. از طرفی سطح محترق ذرات پودر با رابطه زیر بدست می‌آید [18]:

$$S_b = \frac{2C_w}{\rho_p W_0} \quad (4)$$

که  $W_0$  ضخامت شبکه‌ای ذرات پودر و  $C_w$  جرم اولیه پودر است. با ترکیب روابط (2), (3) و (4)، نرخ احتراق پیشرانه جامد به صورت زیر به دست می‌آید:

$$\frac{dN_b}{dt} = \begin{cases} (B_1 P_{av}^{N_1} + K_V \dot{X}_p) \frac{2C_w}{W_0}, & P_{av} \leq 11 \text{ bar} \\ (B_2 P_{av}^{N_2} + K_V \dot{X}_p) \frac{2C_w}{W_0}, & 11 \text{ bar} \leq P_{av} \leq 141 \text{ bar} \\ (B_3 P_{av}^{N_3} + K_V \dot{X}_p) \frac{2C_w}{W_0}, & 141 \text{ bar} \leq P_{av} \end{cases} \quad (5)$$

به عبارت دیگر معادله (5) نرخ تولید گاز حاصل از احتراق را نشان می‌دهد که برای تعیین فشار گاز تولیدی در بخش بعد مورد استفاده قرار خواهد گرفت.

### 2-3- مدل‌سازی گاز حاصل از احتراق

پس از بررسی احتراق پیشرانه، برای تعیین نرخ افزایش فشار گاز حاصل از احتراق از اصل بقای انرژی استفاده می‌شود:

$$E_1 = E_2 + E_3 + E_4 \quad (6)$$

که در آن  $E_1$  انرژی آزادشده از سوختن پودر،  $E_2$  انرژی جنبشی پیستون،  $E_3$  اتلاف حرارتی و  $E_4$  انرژی جنبشی گاز حاصل از احتراق است. برای توصیف رفتار گاز حاصل از احتراق از معادله حالت نوبل-آبل استفاده می‌گردد [20]:

$$P_{av} (V_c - \eta N_b) = N_b R_p T_0 \quad (7)$$

در این رابطه  $V_c$  حجم محفظه احتراق،  $\eta$  حجم کمکی گاز حاصل از احتراق،  $R_p$  ثابت گاز و  $T_0$  دمای شعله پودر است. عبارت تحت  $R_p T_0$  به عنوان نیروی محرک، وابسته به نوع گاز حاصل از احتراق بوده و نشانگر توانایی آزادسازی انرژی توسعه جرم مشخصی از گاز است:

که  $\sigma_m$  تنش برشی در حین تغییر شکل است. از آنجاکه فرآیند اکستروژن با نرخ بسیار بالای انجام می‌شود باید اثرات اینترسی نیز در نظر گرفته شود. رابطه زیر توان لازم برای غلبه بر نیروهای اینترسی ( $\dot{W}_k$ ) را ارائه می‌دهد:

$$\dot{W}_k = \frac{1}{2} \rho_{\text{pm}} \pi V_o R_o^2 (V_e^2 - V_o^2) \quad (27)$$

که  $\rho_{\text{pm}}$  چگالی پیستون است. درنهایت نیروی ناشی از اکستروژن ( $F_{P4}$ ) از رابطه زیر به دست می‌آید:

$$F_{P4} = \frac{(\dot{W}_i + \dot{W}_{S1} + \dot{W}_{S2} + \dot{W}_{S3} + \dot{W}_k)}{V_{\text{ex}}} \quad (28)$$

که کمیت  $V_{\text{ex}}$  نشان‌دهنده سرعت اکستروژن است. با توجه به نیروهای موجود، شتاب پیستون با استفاده از قانون دوم نیوتون به دست می‌آید:

$$\frac{d^2 X_p}{dt^2} = \frac{(F_{P1} - F_{P2} - F_{P3} - F_{P4})}{m_p} \quad (29)$$

با مشخص شدن شتاب پیستون، تمامی عبارات در معادله (13) معلوم می‌شوند.

#### 4-3- مدل‌سازی حرکت پرتاپه

سه نیرو بر پرتاپه عمل می‌کنند: (1) نیروی ناشی از فشار گاز سبک (2) نیروی ناشی از فشرده شدن گاز پیش روی پرتاپه (در صورتی که در خلا نباشد) (3) نیروی اصطکاک. فشار گاز سبک وابسته به حرکت پیستون و پرتاپه است و از رابطه تراکم آینزنتروپیک گاز ایده‌آل به صورت زیر قابل محاسبه است:

$$P_{LG} = P_{LG_i} \left[ \frac{V_{LG_i}}{V_{LG_i} - X_p A_{pt} + X_s A_{lt}} \right]^{\gamma_{LG}} \quad (30)$$

که در آن  $X_s$  موقعیت پرتاپه و  $A_{lt}$  مساحت سطح مقطع لوله پرتاپ است. البته این فشار مقدار میانگین است و برای در نظر گرفتن گرادیان فشار، از رابطه انتشار موج در گاز به شکل زیر استفاده می‌گردد:

$$P_{Sb} = P_{LG} \left[ 1 + \frac{\gamma_{LG}-1}{2} \frac{X_s^2}{\gamma_{LG} R_{LG} T_{LG}} \right]^{\frac{\gamma_{LG}}{\gamma_{LG}-1}} \quad (31)$$

که  $P_{Sb}$  فشار وارد به پشت پرتاپه است. درنهایت نیروی وارد بر پرتاپه از طریق گاز سبک ( $F_{S1}$ ) برابر خواهد بود با:

$$F_{S1} = P_{Sb} A_{lt} \quad (32)$$

اگر پیش روی پرتاپه خلا نباشد، وقتی پرتاپه شتاب می‌گیرد، امواج فشاری با هم جمع شده و یک موج شوک پیش روی پرتاپه ایجاد می‌کنند. در این حالت فشار ایجاد شده در جلوی پرتاپ ( $P_{Sf}$ ) به وسیله رابطه زیر به فشار لوله پرتاپ ارتباط می‌یابد:[12]:

$$P_{Sf} =$$

$$P_{lt} \left[ 1 + \left( \frac{X_s}{a_l} \right)^2 \frac{\gamma_l (\gamma_l + 1)}{4} + \frac{\gamma_l X_s}{a_l} \sqrt{1 + \left( \frac{(\gamma_l + 1)}{4} \right)^2 \left( \frac{X_s}{a_l} \right)^2} \right] \quad (33)$$

در این رابطه  $P_{lt}$  فشار متوسط هوای جلوی پرتاپ در لوله پرتاپ،  $a_l$  سرعت صوت در هوا و  $\gamma_l$  نسبت گرمایی ویژه هوا است. بنابراین نیروی ناشی از هوای پیش روی پرتاپ ( $F_{S2}$ ) برابر خواهد بود با:

$$F_{S2} = P_{Sf} A_{lt} \quad (34)$$

درنهایت نیروی اصطکاک ( $F_{S3}$ ) به صورت زیر قابل محاسبه است:

$$F_{S3} = \pi \mu_m (D_{lt})^2 P_{Sb} \quad (35)$$

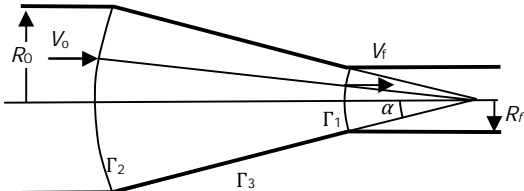


Fig. 4 Conical section of middle chamber in flow field

شکل 4 ناحیه مخروطی محفظه میانی در میدان جریان

$$F_{P2} = F_{R1} - \dot{X}_p F_{R2} \quad (18)$$

که  $F_{R2}$  ضریب استهلاک سرعت می‌باشد و به صورت نسبت  $F_{R1}$  به حداکثر سرعت پیستون تعريف می‌گردد:

$$F_{R2} = \frac{F_{R1}}{\sqrt{2 F_p \frac{C_w}{m_p}}} \quad (19)$$

لوله پمپ حاوی گاز سبک است که پرتاپه را به حرکت درمی‌آورد. فرض می‌شود که گاز سبک به صورت غیر لزج یعنی گاز ایده‌آل با گرمایانهای ویژه ثابت است، فشرده شدن گاز و سایر فرآیندهای چرخه، آینزنتروپیک در نظر گرفته می‌شوند و شیر سریع بازشونده ناگهانی باز می‌شود. فشار گاز سبک تا حدی افزایش می‌یابد که شیر سریع بازشونده عمل کرده و باز شود. وقتی که پیستون با فشار گاز حاصل از احتراق به سمت انتهای لوله حرکت می‌کند، گاز سبک فشرده می‌شود. سرعت پیستون در این حالت در مقایسه با سرعت صوت در گاز سبک کوچک‌تر بوده و فشرده شدن بدون شوک به عنوان یک فرآیند آینزنتروپیک قابل مدل‌سازی است. این افزایش فشار از رابطه زیر به دست می‌آید:

$$P_{LG} = P_{LG_i} \left[ \frac{V_{LG_i}}{V_{LG_i} - X_p A_{pt}} \right]^{\gamma_{LG}} \quad (20)$$

در این رابطه  $P_{LG}$  فشار گاز سبک،  $V_{LG_i}$  حجم اولیه گاز سبک و  $\gamma_{LG}$  نسبت گرمایی ویژه آن است. به دلیل وجود گرادیان فشار در طول فرآیند، از رابطه زیر استفاده می‌شود:

$$P_{Pf} = P_{LG} \left[ 1 + \frac{\gamma_{LG}-1}{2} \frac{X_p^2}{\gamma_{LG} R_{LG} T_{LG}} \right]^{\frac{\gamma_{LG}}{\gamma_{LG}-1}} \quad (21)$$

که  $T_{LG}$  دما،  $R_{LG}$  ثابت گاز سبک و  $P_{Pf}$  فشار پیش روی پیستون است. با این تعریف نیروی حاصل از فشار گاز سبک ( $F_{P3}$ ) از رابطه زیر به دست می‌آید:

$$F_{P3} = P_{Pf} A_{Pf} \quad (22)$$

که  $A_{Pf}$  سطح پیش روی پیستون است. نیروی دیگر بر پیستون ناشی از نیروهای اکستروژن است. در این قسمت فرض می‌شود که ماده تشکیل‌دهنده پیستون غیرقابل تراکم و به صورت پلاستیک کامل رفتار می‌کند و از معیار تسلیم فون میسز پیروی می‌نماید.

وقتی پیستون به ناحیه مخروطی محفوظه میانی می‌رسد، دچار تغییر شکل شده و یک الگوی جریان ایجاد می‌گردد. برای محاسبه نیروی داخلی تغییر شکل ماده پیستون از رابطه زیر استفاده می‌گردد [22]:

$$\dot{W}_i = 2\pi \sigma V_o R_o^2 \ln \left( \frac{R_o}{R_e} \right) \quad (23)$$

در این رابطه  $\sigma$  تنش تسلیم ماده پیستون،  $V_o$  سرعت پیستون در حال ورود به ناحیه مخروطی،  $R_o$  شاعر ورودی مخروطی،  $R_e$  شاعر وجه پیستون در زمان اکستروژن و  $\dot{W}_i$  توان مورد نیاز برای این تغییر شکل است که در شکل 4 پارامترهای هندسی مشاهده می‌شوند. همچنین توانی صرف غلبه بر عدم پیوستگی سرعت در سطوح  $\Gamma_1$  و  $\Gamma_2$  (به ترتیب  $\dot{W}_{S1}$  و  $\dot{W}_{S2}$ ) که به ترتیب در خروجی و ورودی ناحیه مخروطی قرار دارند، می‌شود و با روابط زیر قابل محاسبه است [22].

$$\dot{W}_{S1} = \frac{\pi \sigma}{\sqrt{3}} V_f R_f^2 \left[ \frac{\alpha}{\sin^2 \alpha} - \cot \alpha \right] \quad (24)$$

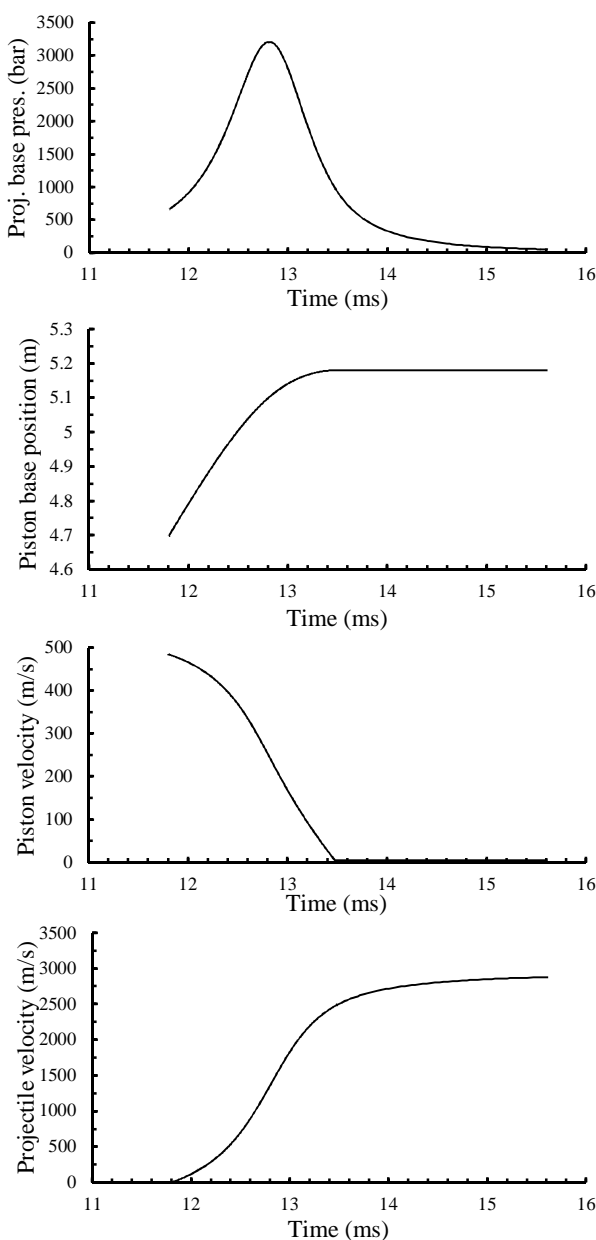
$$\dot{W}_{S2} = \frac{\pi \sigma}{\sqrt{3}} V_o R_o^2 \left[ \frac{\alpha}{\sin^2 \alpha} - \cot \alpha \right] \quad (25)$$

در این روابط  $V_f$  سرعت پیستون در حال خروج از مخروطی،  $R_f$  شاعر خروجی مخروطی و  $\alpha$  نیمزاویه قسمت مخروطی شکل است. علاوه بر این، وقتی پیستون وارد ناحیه مخروطی می‌شود، باید بر نیروی اصطکاک در سطح  $\Gamma_3$  که دیواره مخروطی است غلبه کند. توان لازم برای غلبه ( $\dot{W}_{S3}$ ) از رابطه زیر به دست می‌آید [22]:

$$\dot{W}_{S3} = \frac{2\pi}{\sqrt{3}} \sigma_m V_o R_o^2 \cot \alpha \ln \left( \frac{R_o}{R_e} \right) \quad (26)$$

**جدول ۱** مقایسه نتایج حاصل از شبیه‌سازی و نتایج آزمایشگاهی برای سرعت پرتابه  
**Table 1** Comparison of simulation and experimental results for projectile velocity

شماره آزمایش						
5	4	3	2	1	(kg)	جرم پیشانه جامد
0.6	1.25	0.7	0.65	0.7	(kg)	جرم پیستون
3.175	5.625	3.4	2.5	3.401	(kg)	جرم پرتابه
0.068	0.03	0.055	0.06	0.05	(kg)	فشار پاره شدن دیسک
12	12	12	6	12	(ksi)	فشار اولیه گاز هلیوم
200	250	200	200	300	(psi)	فشار در لوله پرتاب
0	0	0	0	0	(psi)	سرعت تجربی [17]
2377	3444	2987	2987	2895	(m/s)	سرعت پیش‌بینی شده
2453	3729	2844	2652	2871	(m/s)	درصد خطا
3.18	8.28	4.77	11.20	0.83		



**Fig. 5** Important launcher variables vs. time

**شکل ۵** تغییرات متغیرهای مهم پرتابگر بر حسب زمان  
حرکت پرتابه به آن داده شده است و از اینجا به بعد سرعت پرتابه تغییر خاصی نمی‌کند.

در این رابطه  $\mu_m$  ضریب اصطکاک و  $D_{lt}$  قطر لوله پرتاب است. به طور مشابه، با به کارگیری قانون دوم نیوتون، شتاب پرتابه به صورت زیر به دست می‌آید:

$$\frac{d^2 X_S}{dt^2} = \frac{(F_{S1} - F_{S2} - F_{S3})}{m_S} \quad (36)$$

در این رابطه  $m_S$  جرم پرتابه است.

### ۳-۵- جمع‌بندی مدل‌سازی پرتابگر

در این بخش معادلات پرتابگر جمع‌بندی می‌گردد. این معادلات عبارت‌اند از: (۱) معادله نرخ سوختن پیستون (۲) نرخ تغییرات فشار گاز حاصل از احتراق (۳) معادله حرکت پرتابه (۴) معادله حرکت پرتابه، که به صورت زیر قابل ارائه می‌باشند:

$$\begin{cases} \frac{dN_b}{dt} = \begin{cases} (B_1 P_{av}^{N_1} + K_V \dot{X}_P) \frac{2C_w}{w_0}, & P_{av} \leq 11 \text{ bar} \\ (B_2 P_{av}^{N_2} + K_V \dot{X}_P) \frac{2C_w}{w_0}, & 11 \text{ bar} \leq P_{av} \leq 141 \text{ bar} \\ (B_3 P_{av}^{N_3} + K_V \dot{X}_P) \frac{2C_w}{w_0}, & 141 \text{ bar} \leq P_{av} \end{cases} \\ \frac{dP_{av}}{dt} \left[ V_c + X_P A_{pt} - \frac{C_w - N_b}{\rho_p} \right] = \frac{dN_b}{dt} F_p \\ -(\gamma_p - 1)(1 + \beta) m_a \frac{d\dot{X}_P}{dt} \frac{dX_P}{dt} \\ \frac{d^2 X_P}{dt^2} = \frac{(F_{P1} - F_{P2} - F_{P3} - F_{P4})}{m_p} \\ \frac{d^2 X_S}{dt^2} = \frac{(F_{S1} - F_{S2} - F_{S3})}{m_S} \end{cases} \quad (37)$$

معادلات (37) غیر خطی و کوپل می‌باشند و لذا می‌بایستی به طور عددی و همزمان حل شوند که در بخش بعد مورد بررسی قرار می‌گیرد.

### ۴- حل عددی و اعتبارسنجی مدل

برای حل معادلات دیفرانسیل (37) ازتابع اودی‌ای<sup>۱</sup> نرم‌افزار متلب که دستگاه معادلات دیفرانسیل غیرخطی را حل می‌کند، استفاده می‌شود. ضرایب تجربی موجود در معادلات (ضریب انتقال حرارت  $\beta$  در معادله (11) و ضریب اصطکاک  $\mu_m$  در معادله (35)) می‌بایست تعیین گردند. جهت تعیین این ضرایب با استفاده از روش حداقل مربعات، اختلاف نتایج مرجع [17] در شرایط مختلف با حل عددی کمینه شده و ضرایب مورد نظر تخمین زده شد. برای صحه‌سنجی نتایج به دست آمده از مدل، خروجی‌ها با داده‌های آزمایشگاهی مقایسه می‌شود. در جدول ۱ داده‌های آزمایشگاهی سرعت خروجی پرتابه برای پرتابگر گازی دومرحله‌ای مرجع [17] و مقادیر شبیه‌سازی شده متناظر با شرایط آزمایش مقایسه گردیده و خطای نسبی محاسبه شده است. در بیشترین حالت، خطای سرعت به میزان ۱۱ درصد است و در بهترین حالت این مقدار به ۰.۸ درصد می‌رسد. یکی از منابع خطا نبود اطلاعات دقیق از برخی پارامترهای موردنیاز شبیه‌سازی است که با استفاده از مقادیر تقریبی این شبیه‌سازی‌ها انجام شده است.

برای تبیین بهتر فرآیند پرتاب در پرتابگر، در شکل ۵ برای آزمایش ۳ نمودارهای فشار واردہ بر پرتابه، سرعت پیستون، مکان پیستون و همچنین سرعت پرتابه، از زمان پاره شدن دیسک تا خروج پرتابه از لوله پرتاب ارائه شده است. مشاهده می‌گردد که با پاره شدن دیسک و شروع حرکت پرتابه به دلیل اینکه هنوز پرتابه سرعت نگرفته است و پیستون در حال حرکت است، گاز سبک متراکم‌تر شده و فشار افزایش می‌یابد. در ادامه با حرکت پرتابه و کاهش سرعت نگرفته است و فشار کاهش می‌یابد؛ که اکستروه شدن پیستون درون محفظه مخروطی تا حدی از کاهش سریع فشار پشت پرتابه جلوگیری می‌کند. هنگامی که پیستون از حرکت می‌ایستد فشار با نرخ بیشتری کاهش می‌یابد، در این هنگام، بیشتر انرژی مورد نیاز جهت

قدم بعدی در استفاده از روش پاسخ سطح، انتخاب طراحی آزمایش مناسب و انجام آزمایش است. به این منظور از طراحی آزمایش باکس-اینکن<sup>2</sup> با 46 آزمایش جهت بررسی پارامترهای پنچگانه انتخابی استفاده می‌گردد. مزیت این طراحی آزمایش، امکان بررسی اثرات برهم‌کنشی و مرتبه دو با تعداد کمی آزمایش است. ماتریس آزمایش و مقادیر بدست آمده سرعت و فشار بیشینه وارد بر پرتاپه در جدول 4 مشاهده می‌گردد. برای انجام رگرسیون و بدست آوردن معادله پاسخ‌های مورد انتظار، می‌بایست مدل مناسب انتخاب گردد. به این منظور چند جمله‌ای درجه دو زیر به عنوان مدل در نظر گرفته شده است.

$$y = \beta_0 + \sum_{i=1}^k \beta_i x_i + \sum_{1 \leq i < j \leq k} \beta_{ij} x_i x_j + \sum_{i=1}^k \beta_{ii} x_i^2 + \epsilon \quad (38)$$

که در آن،  $k$  تعداد متغیرها،  $\beta_0$  بخش ثابت،  $\beta_i$  ضرایب پارامترهای خطی،  $\beta_{ij}$  ضرایب اثرات متقابل پارامترها،  $\beta_{ii}$  ضرایب جملات درجه دو،  $\epsilon$  متغیرهای مورد مطالعه و  $\epsilon$  نیز باقیمانده نتایج آزمایش را نشان می‌دهد. پس از بدست آوردن داده متناظر با هر یک از نقاط، می‌بایست یک معادله ریاضی برآراش شود تا رفتار پاسخ هر یک از سطوح مورد بررسی را توصیف نماید [23]. به بیان دیگر می‌بایست تخمینی از مقادیر ضرایب مربوط به هر یک از جملات معادله (38) بدست آید. به این منظور مدل انتخاب شده با روش آماری حداقل مربعات حل می‌شود. در این روش فرض می‌شود که خطاهای دارای میانگین صفر و واریانس نامعلوم ولی یکسانی هستند. نتایج بدست آمده از این روش برای پاسخ‌های سرعت و فشار بیشینه وارد بر پرتاپه به صورت زیر است:

$$\begin{aligned} V = & 3175.199 + 38.11983 A + 3822.382 B \\ & + 0.401506 C \\ & - 36.9032 D - 96221.5 E - 139.903 A B \\ & + 0.342034 A C \\ & + 4.982946 A D + 302.6955 A E + 0.09218 B C \\ & + 0.864529 B D + 3986.563 B E - 0.00698 C D \\ & - 14.1303 C E + 90.10955 D E - 1318.85 A^2 \\ & - 12.558 B^2 \\ & - 0.00029 C^2 + 0.186088 D^2 + 1061172 E^2 \quad (39) \end{aligned}$$

$$\begin{aligned} P = & -739.166 + 7085.071 A - 378.747 B \\ & + 1.20241 C - 169.65 D \\ & + 114688.6 E - 705.453 A B + 0.751973 A C \\ & - 257.237 A D \\ & + 110918.4 A E + 0.126417 B C + 18.66571 B D \\ & + 1112.6 B E \\ & - 0.0355 C D - 4.86117 C E - 6563.08 D E \\ & + 139.8072 A^2 \\ & + 38.81555 B^2 - 0.00049 C^2 + 9.710588 D^2 \\ & - 1010618 E^2 \quad (40) \end{aligned}$$

یکی از روش‌های قابل اطمینان برای بررسی کیفیت مدل برآراش شده، استفاده از تحلیل واریانس است. ایده اصلی تحلیل واریانس، مقایسه تغییرات حاصل از تغییر متغیرها، با تغییرات ناشی از خطای ذاتی موجود در اندازه‌گیری و تولید پاسخ‌ها است. با استفاده از مقایسه واریانس‌ها، این امکان فراهم می‌آید که اهمیت رگرسیون استفاده شده برای پیش‌بینی پاسخ ناشی از واریانس‌های آزمایش تعیین گردد [24]. لذا با استفاده از تحلیل واریانس، رگرسیون انجام‌شده تحلیل گردیده است و نتایج تحلیل واریانس پاسخ سرعت و فشار به ترتیب در جدول‌های 5 و 6 بیان گردیده است. مقدار احتمال  $F$  برای این مدل‌ها کمتر از 0.05 بوده که نشان می‌دهد با اطمینان بیش از 95 درصد، نتایج قابل استناد است. این نتایج نشان می‌دهد با سطح اطمینان 99.99 درصد مدل از نظر آماری قابل توجه است. مقدار  $R^2$  نزدیک 1 بوده که تطبیق خوبی بین مدل و مقادیر شبهه‌سازی شده را نشان می‌دهد. در واقع این مقدار بیان می‌کند که مدل رگرسیون شده،

2- Box-Behnken design

**5- تحلیل و بهینه‌سازی پرتابگر با استفاده از روش پاسخ سطح**  
به دلیل تعدد پارامترهای درگیر در عملکرد پرتابگر و برهمکنش آن‌ها، بررسی عملکرد پرتابگر در اثر عوامل مختلف دشوار است و نمی‌توان از روش‌های ساده مانند تغییر یک پارامتر در هر زمان جهت تحلیل کارآیی پرتابگر استفاده نمود. همچنان دستگاه معادلات دیفرانسیل قابلیت حل تحلیلی ندارد و به صورت عددی حل شده است و حلی زمانبر است، لذا بهینه‌سازی عملکرد پرتابگر با استفاده از روش‌های مثل الگوریتم ژنتیک نیز عملاً ناکارآمد است، به همین جهت از روش‌های طراحی آزمایش استفاده می‌شود. این روش‌ها با تعدادی مشاهده و آزمایش، عملکرد یک سیستم را تعیین می‌نمایند. در بین روش‌های طراحی آزمایش‌ها، روش‌های پاسخ سطح به دلیل کارآیی بالا در تعیین تاثیرات برهمکنشی عوامل و بهویژه عوامل درجه دو، از اهمیت و کاربرد زیادی برخوردار است.

در این قسمت به بهینه‌سازی عملکرد یک پرتابگر با مشخصات ارائه شده در جدول 2 خواهیم پرداخت و از نرم افزار دیزاین اکسپریت 7.0<sup>1</sup> برای انجام محاسبات آماری و بهینه‌سازی استفاده می‌گردد. قدم اول در استفاده از روش پاسخ سطح، تعیین متغیرهای مستقل موثر برتابع هدف و محدود کردن دامنه آزمایش است. متغیرهای جرم پیشانه، جرم پیستون، فشار اولیه گاز سبک، فشار دیسک پاره شونده و جرم پرتاپه به عنوان متغیرهای مستقل در نظر گرفته شده‌اند. مهمترین متغیر عملکردی پرتابگر، سرعت پرتاپه است. البته فشار بیشینه وارد بر پرتاپه نیز از دیگر متغیرهای عملکردی مهم در پرتابگرها می‌باشد. رفتار پرتابگر در شرایط مختلف متفاوت بوده و میزان فشاری که به پرتاپه وارد می‌شود می‌تواند بسیار متغیر باشد. در برخی از آزمایش‌ها از پرتاپه‌های آسیب پذیر استفاده می‌شود به همین جهت فشاری که به پرتاپه وارد می‌شود، می‌تواند بسیار تعیین کننده باشد، چرا که اگر فشار بیشینه وارد بر پرتاپه مقدار زیادی باشد می‌تواند به نایابی پرتاپه در حین پرتاب بیانجامد. در هنگام پرتاب در سرعت‌های مختلف، فشار بیشینه وارد بر پرتاپه، متفاوت خواهد بود. حالت‌های مختلف وجود دارد که می‌توان یک پرتاپه را به سرعت مورد نظر رساند، حالی مناسب است که در حین این عمل کمترین فشار بیشینه به پرتاپه اعمال شود. به این منظور، فشار بیشینه وارد بر پرتاپه به عنوان متغیر هدف دیگر انتخاب گردیده است. تحلیل عملکرد پرتابگر با دو هدف بیشینه‌سازی سرعت و کمینه‌سازی فشار بیشینه وارد بر پرتاپه انجام می‌گیرد. متغیرهای مستقل همراه با محدوده و سطوح آزمایش در جدول 3 مشاهده می‌شوند.

جدول 2 ابعاد هندسی پرتابگر مورد استفاده

Table 2 Geometrical properties of selected launcher

قطعه	طول (m)	قطر (m)	زاویه
محفظه احتراق	1.2	0.24	-
محفظه میانی	0.7	-	3.9
لوله پمپ	5.5	0.09	-
لوله پرتاپ	8	0.03	-
پیستون	0.428	0.09	-

جدول 3 گستره آزمایش و سطوح متغیرهای مستقل

Table 3 Experiment domain and parameters treatments

متغیرهای مستقل	متغیرهای طراحی واحد	باشه و سطوح متغیرها
-1 0 1		
0.4 0.75 1.1	kg	A $C_w$
2.5 3.75 5	kg	B $m_p$
400 750 1100	bar	C $P_i$
5 15 25	bar	D $P_{rup}$
0.01 0.02 0.03	kg	E $m_s$

می‌بایست بهینه‌سازی به صورت چند هدفه انجام گیرد و در روش دوم می‌توان سرعت یا فشار بیشینه را به صورت قید در نظر گرفت و بهینه‌سازی را به صورت تک هدفه انجام داد. در ادامه برای بهینه‌سازی از روش دوم استفاده خواهد شد.

پس از اطمینان از صحت مدل‌سازی انجام شده به وسیله تحلیل واریانس، می‌توان از مدل ارائه شده به عنوان ابزاری جهت بهینه‌سازی سیستم استفاده نمود. اکنون به بررسی محدوده سرعت قابل دستیابی با پرتابگر با مشخصات ارائه شده در جدول 2 می‌پردازیم. لذا برای یافتن محدوده سرعت قابل دستیابی، جرم پرتاپه در 5 سطح دسته‌بندی شده و برای هر حالت بهینه‌سازی انجام می‌گیرد. در این قسمت به روش سیمپلکستابع چندجمله‌ای درجه دو بهینه‌سازی شده است. بیشینه سرعت قابل دستیابی برای جرم‌های مختلف در نمودار شکل 7 ارائه شده است. مشاهده می‌شود که با کاهش جرم پرتاپه از 30 به 10 گرم، سرعت بیشینه از حدود 3600 متر بر ثانیه به حدود 5000 متر بر ثانیه می‌رسد. با استفاده از این نمودار، آزمایش کننده به قابلیت پرتابگر پی برده و مشخص می‌شود که این پرتابگر با چه میزان جرمی در چه محدوده سرعتی می‌تواند پرتاب را انجام دهد. مقادیر پارامترهای متناظر با سرعت‌های بیشینه در جدول 7 بیان شده است. با استفاده از این جدول، مقادیر بهینه پارامترها برای جرم‌های مشخص، تعیین می‌شود. همچنین در این جدول مقادیر شیوه‌سازی شده (با استفاده از مدل یک‌بعدی) با مقادیر پیش‌بینی شده (تحلیل آماری پاسخ سطح) مقایسه شده است و در بیشترین حالت خطای سرعت، 2.2 درصد است، که تطابق مدل با شیوه‌سازی را نشان می‌دهد. با توجه به اینکه بیشتر پارامترهای مورد بررسی اثربخش در اهداف مورد نظر (بیشینه‌سازی سرعت و کمینه‌سازی فشار بیشینه) دارند، برای انجام بهینه‌سازی، مقدار سرعت به صورت قید ثابت در نظر گرفته شد و به کمینه‌سازی فشار بیشینه وارد بر پرتاپه پرداخته شد. جدول 8 مقادیر بدست آمده از بهینه‌سازی را نشان می‌دهد. مشاهده می‌شود که در سطوح مختلف سرعت و به ازای جرم‌های مختلف، هر یک از پارامترها باید در چه سطحی قرار گیرند که فشار بیشینه وارد بر پرتاپه کمینه گردد. این جدول برای تنظیمات دستگاه پرتابگر برای انجام تست ضربه از اهمیت زیادی برخوردار

جدول 5 تحلیل واریانس مدل درجه دو برای سرعت پرتاپه

Table 5 Analysis of variances for second order polynomial model of projectile velocity

منبع تغییر	مجموع مربعات درجه آزادی میانگین مربعات مقدار F احتمال <
< 0.0001	643.45 542442.7 20 10848853.2 مدل
	843.0285 25 21075.712 باقیمانده
	1053.786 20 21075.712 عدم برازش
0	5 0 خطای خالص
	45 10869928.9 مجموع
C.V. = 0.815291122, R <sup>2</sup> = 0.998061099	

جدول 6 تحلیل واریانس مدل درجه دو برای فشار بیشینه وارد بر پرتاپه

Table 6 Analysis of variances for second order polynomial model of maximum projectile base pressure

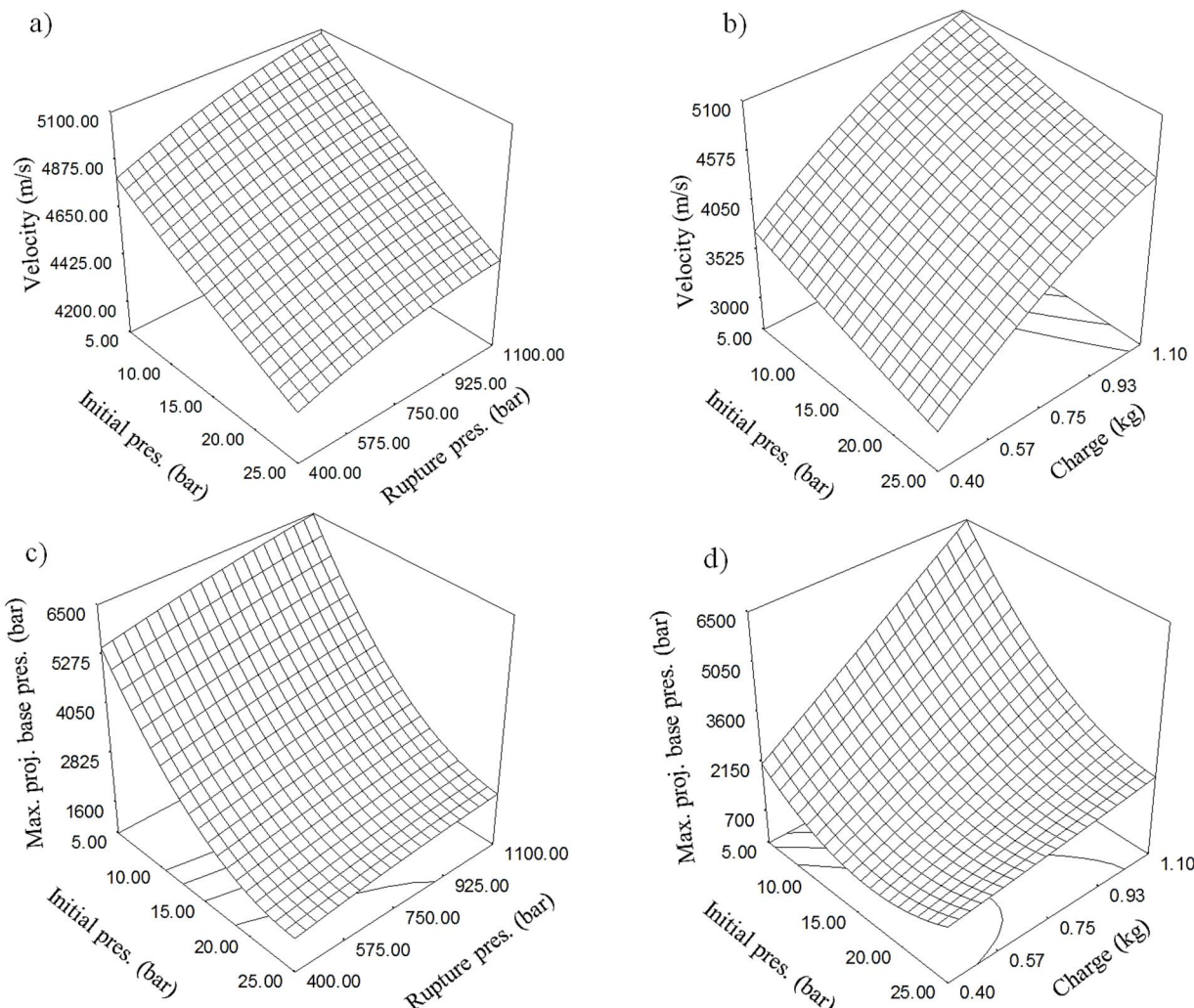
منبع تغییر	مجموع مربعات درجه آزادی میانگین مربعات مقدار F احتمال <
< 0.0001	62.405 4525985 20 90519707.82 مدل
	72525.67 25 1813141.699 باقیمانده
	90657.08 20 1813141.699 عدم برازش
0	5 0 خطای خالص
	45 92332849.52 مجموع
C.V. = 10.76189888, R <sup>2</sup> = 0.980362983	

جدول 4 ماتریس آزمایش و پاسخ‌های متناظر

Table 4 Experiment matrix and corresponding responses

P (bar)	V (m/s)	E (kg)	D (bar)	C (bar)	B (kg)	A (kg)	#
2320.74	3172.75	0.03	15	400	3.75	0.75	1
2193.45	3593.47	0.02	15	750	3.75	0.75	2
5716.71	3930.45	0.02	5	750	2.5	0.75	3
1281.67	3245.98	0.02	25	400	3.75	0.75	4
2730.19	3131.36	0.03	15	750	2.5	0.75	5
1654.43	3475.18	0.02	15	400	5	0.75	6
1009.23	2832.73	0.02	15	750	5	0.4	7
3026.59	4481.49	0.01	5	750	3.75	0.75	8
1799.94	4199.20	0.01	15	750	2.5	0.75	9
3687.47	4082.91	0.02	15	1100	3.75	1.1	10
2193.45	3593.47	0.02	15	750	3.75	0.75	11
1866.65	4260.27	0.01	15	1100	3.75	0.75	12
2122.46	3497.03	0.02	15	400	2.5	0.75	13
2193.45	3593.47	0.02	15	750	3.75	0.75	14
2378.53	3674.50	0.02	15	1100	5	0.75	15
2193.45	3593.47	0.02	15	750	3.75	0.75	16
1744.21	2960.08	0.03	25	750	3.75	0.75	17
1234.42	3896.34	0.01	25	750	3.75	0.75	18
876.31	2633.52	0.02	25	750	3.75	0.4	19
2174.34	3179.71	0.02	5	750	3.75	0.4	20
1300.04	2819.26	0.02	15	1100	3.75	0.4	21
2363.95	3770.63	0.02	25	750	3.75	1.1	22
934.41	3443.13	0.01	15	750	3.75	0.4	23
2877.17	3896.76	0.02	15	400	3.75	1.1	24
5028.50	3924.63	0.02	5	1100	3.75	0.75	25
2336.14	4598.60	0.01	15	750	3.75	1.1	26
1752.19	3332.13	0.02	25	1100	3.75	0.75	27
1416.29	3304.82	0.02	25	750	5	0.75	28
858.20	2800.71	0.02	15	400	3.75	0.4	29
2625.34	3535.03	0.02	15	1100	2.5	0.75	30
1434.85	4121.07	0.01	15	750	5	0.75	31
2420.73	3252.56	0.03	15	750	5	0.75	32
2797.26	3208.28	0.03	15	1100	3.75	0.75	33
4130.08	3648.71	0.03	15	750	3.75	1.1	34
4046.40	4078.10	0.02	15	750	2.5	1.1	35
2193.45	3593.47	0.02	15	750	3.75	0.75	36
2727.08	3909.68	0.02	15	750	5	1.1	37
6161.61	3509.20	0.03	5	750	3.75	0.75	38
2193.45	3593.47	0.02	15	750	3.75	0.75	39
1322.07	4026.91	0.01	15	400	3.75	0.75	40
1094.02	2756.33	0.02	15	750	2.5	0.4	41
7263.30	4247.06	0.02	5	750	3.75	1.1	42
1749.59	3309.12	0.02	25	750	2.5	0.75	43
4450.12	3882.92	0.02	5	750	5	0.75	44
1175.50	2489.00	0.03	15	750	3.75	0.4	45
4061.04	3740.78	0.02	5	400	3.75	0.75	46

توصیف خوبی از پاسخ سرعت و فشار نشان می‌دهد. برای مشخص شدن بهتر اثرات پارامترهای اساسی بر عملکرد پرتابگر، دو پاسخ سرعت و فشار بیشینه وارد بر پرتاپه بر حسب فشار اولیه گاز سبک، فشار پاره شدن دیسک، جرم پیشرانه، با جرم پرتاپه 10 گرمی و جرم پیستون 2.5 کیلوگرمی بررسی گردید. با استفاده از مدل بدست آمده از آزمایش، در شکل 6 (a) اثر پارامترهای فشار اولیه و فشار پاره شدن دیسک بر سرعت شده بیان شده است که نشان می‌دهد افزایش فشار اولیه باعث کاهش سرعت شده و افزایش فشار پاره شدن دیسک به افزایش سرعت کمک می‌کند. در شکل 6 (c) اثر پارامترهای فشار اولیه و فشار پاره شدن دیسک بر فشار بیشینه وارد بر پرتاپه بیان شده است که نشان می‌دهد افزایش فشار اولیه، باعث کاهش فشار بیشینه وارد بر پرتاپه کمک می‌کند. شکل 6 (b) اثر فشار اولیه و جرم پیشرانه بر سرعت را نمایش می‌دهد، مشاهده می‌شود که با افزایش جرم پیشرانه بر سرعت را نمایش می‌آید. شکل 6 (d) اثر فشار اولیه و جرم پیشرانه بر فشار بیشینه وارد بر پرتاپه را نمایش می‌دهد، مشاهده می‌شود که با افزایش جرم پیشرانه بر فشار بیشینه وارد بر پرتاپه افزایش می‌یابد. با توجه به اینکه افزایش سرعت فشار بیشینه وارد بر پرتاپه افزایش جرم پیشرانه می‌یابد، در نمودارهای پرتاپه و کاهش فشار بیشینه وارد بر پرتاپه افزایش سرعت را نمایش می‌دهد، پرتابه و کاهش فشار بیشینه وارد بر پرتاپه مورد نظر می‌باشد، در نمودارهای شکل 6 مشاهده می‌شود که اثرات پارامترها بر سرعت و فشار بیشینه مخالف هم هستند. لذا به دو روش می‌توان بررسی را انجام داد. در روش اول



**Fig. 6** Different parameters effect on projectile velocity and maximum projectile base pressure: a) initial light gas pressure and rupture disk pressure on velocity b) initial light gas pressure and charge mass on velocity c) initial light gas pressure and rupture disk pressure on maximum pressure d) initial light gas pressure and charge mass on max. pressure

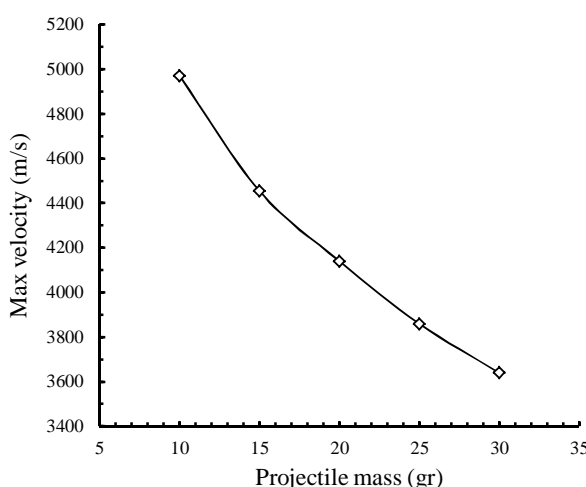
شکل 6 اثر پارامترهای مختلف بر سرعت و فشار بیشینه وارد بر پرتاگه: (a) اثر پارامترهای فشار اولیه و فشار پاره شدن دیسک بر سرعت، (b) اثر فشار اولیه و جرم پیشرانه بر سرعت، (c) اثر پارامترهای فشار اولیه و فشار پاره شدن دیسک بر فشار بیشینه وارد بر پرتاگه و (d) اثر فشار اولیه و جرم پیشرانه بر فشار بیشینه وارد بر پرتاگه را نشان می‌دهد.

انجام شد و در حالت دوم سرعت به صورت قید در نظر گرفته شد و بهینه‌سازی به منظور رسیدن به فشار بیشینه کمتر انجام گردید و نتایج ارائه شد. با استفاده از جداول و نمودارهای ارائه شده که پارامترهای بهینه را نشان

است. شکل 8 نمودار فشار بیشینه بر حسب سرعت در جرم‌های مختلف پرتاگه را نشان می‌دهد. با استفاده از این نمودار می‌توان برای تست یک پرتاگه با جرم مشخص و سرعت مورد نظر، میزان فشار حداقلی وارد بر پرتاگه را تعیین نمود.

## 6- جمع‌بندی و نتیجه‌گیری

در این مقاله مدل یکبعدی پرتاگر دومرحله‌ای مورد بررسی قرار گرفت. بدین منظور فرآیند احتراق، فشار حاصل از گازهای احتراق، حرکت پیستون و حرکت پرتاگه مدل‌سازی گردید. در مدل‌سازی نرخ سوختن از اطلاعات تجربی استفاده شد و با استفاده از روابط شکل‌دهی، کار پلاستیک پیستون محاسبه گردید. در نهایت چهار معادله دیفرانسیل غیرخطی کوپل به دست آمد که به روش عددی حل گردید. سپس با مقایسه نتایج حل عددی با نتایج تجربی موجود در مقالات، صحت مدل تایید قرار گرفت. به منظور بهینه‌سازی و بررسی پارامترهای مختلف بر عملکرد پرتاگر، از طراحی آزمایش‌ها به روش پاسخ سطح استفاده گردید. مدل ریاضی مناسب با استفاده از رگرسیون بدست آمد و با تحلیل واریانس، مناسب بودن آن تأیید گردید. به دلیل دو هدفه بودن بهینه‌سازی (بیشینه‌سازی سرعت و کمینه‌سازی فشار بیشینه)، در حالت اول فقط بر اساس سرعت، بهینه‌سازی



**Fig. 7** Maximum velocity vs. projectile mass

شکل 7 بیشینه سرعت قبلی دستیابی بر حسب جرم پرتاگه

جدول 7 سرعت‌های بیشینه پیش‌بینی شده و شبیه‌سازی شده و پارامترهای متناظر با هر یک به ازای جرم‌های مختلف پرتا به

Table 7 Predicted maximum velocity, its corresponding parameters and simulation results with different projectile masses

خطا %	پیش‌بینی شده		شبیه‌سازی شده		$P_i$ (bar)	$P_{up}$ (bar)	$m_p$ (kg)	$C_w$ (kg)	$m_s$ (kg)
	$V_p$	$P_{max}$	$V_p$ (m/s)	$P_{max}$ (bar)	$V_p$ (m/s)	$P_{max}$ (bar)			
2.196	16.25	5084	6474	4972	5422	5	1098.07	2.53	1.1
0.62	3.83	4428	3765	4455	3620	12.38	1099.97	4.17	1.1
0.84	2.81	4106	3933	4140	3822	13.21	1099.97	4.62	1.1
0.21	6.72	3851	4046	3860	3774	14.12	1099.91	5	1.1
0.444	7.81	3656	4063	3639	3746	15.39	1062.34	5	1.1

جدول 8 مقادیر بینه‌سازی شده و فشار و پارامترهای متناظر با جرم‌های پرتا به مختلف

Table 8 Predicted optimum velocity and pressure, and its corresponding parameters with different projectile masses

شبیه‌سازی شده	$D$	$C$	$B$	$A$	پیش‌بینی شده	$m_s$ (gr)	#
$P_{max}$ (bar)	$V_p$ (m/s)	(bar)	(bar)	(kg)	$P_{max}$ (bar)	$V_p$ (m/s)	
5422.322	4971.921	5	1098.07	2.53	1.1	6474.416	5083.551
5086.911	4970.054	5.32	887.03	2.87	1.1	5853.141	5000
1929.869	4441.97	19.69	1089.84	4.89	1.1	1677.208	4500
1171.484	3963.4	19.81	400.04	4.99	0.92	795.9335	4000
737.8826	3465.398	13.49	400.04	4.38	0.46	477.7002	3500
601.6314	3221.114	16.93	400.01	4.96	0.4	478.4116	3236.138
3620.721	4454.963	12.38	1099.97	4.17	1.1	3764.942	4427.655
2017.051	4033.404	22.07	744.42	5	1.1	1529.971	4000
1103.498	3473.013	17.54	400.81	4.99	0.69	974.7029	3500
731.8052	2968.887	16.4	400.01	3.6	0.4	532.5877	3000
3822.413	4140.051	13.21	1099.97	4.62	1.1	3932.996	4105.755
3206.325	4026.339	16.84	1099.96	4.76	1.1	3001.454	4000
1632.113	3523.815	24.64	400.01	4.94	1.01	1274.548	3500
1014.124	3030.324	17.62	400	4.19	0.52	889.0388	3000
1101.067	2598.026	21.72	1098.8	2.5	0.4	822.4393	2500
3774.45	3859.542	14.12	1099.91	5	1.1	4046.208	3851.427
2308.206	3555.576	24.74	654.82	4.92	1.1	1736.374	3500
1232.133	2993.684	21.07	400.12	4.55	0.65	1118.487	3000
817.3516	2517.891	18.76	400.51	3.5	0.4	559.9762	2500
3746.208	3639.496	15.39	1062.34	5	1.1	4063.462	3655.721
2951.388	3497.244	21.31	955.89	5	1.1	2573.328	3500
1392.691	2941.459	24.2	400.2	4.81	0.77	1192.803	3000
955.2476	2525.416	20.58	400.13	3.88	0.47	628.0783	2500
1089.895	2300.411	23.02	1088.8	2.5	0.4	423.0224	2000

ضریب نرخ سوختن	$B$
جرم اولیه پیشانه (kg)	$C_w$
قطر (m)	$D$
انرژی داخلی گاز پیشانه ( $\text{kgm}^2\text{s}^{-2}$ )	$E_1$
انرژی جنبشی پیستون ( $\text{kgm}^2\text{s}^{-2}$ )	$E_2$
اتلاف حرارتی از دیواره ( $\text{kgm}^2\text{s}^{-2}$ )	$E_3$
انرژی جنبشی گاز پیشانه ( $\text{kgm}^2\text{s}^{-2}$ )	$E_4$
نیرو (N)	$F$
ثابت نیرویی پیشانه ( $\text{m}^2\text{s}^{-2}$ )	$F_p$
نیروی اصطکاک ایستایی پیستون ( $\text{kgms}^{-2}$ )	$F_{RI}$
ضریب استهلاک سرعت	$F_{R2}$
ثابت سوختن سایشی	$K_V$
جرم (kg)	$m$
شبه جرم (kg)	$m_a$
اندیس نرخ سوختن	$N$
جرم گاز پیشانه (kg)	$N_b$
فشار ( $\text{kgm}^{-1}\text{s}^{-2}$ )	$P$
رگرسیون سرعت سوختن پیشانه ( $\text{ms}^{-1}$ )	$r$
ثابت ویژه گاز ( $\text{m}^2\text{s}^{-2}\text{K}^{-1}$ )	$R$
شعاع ابتدای ناحیه مخروطی (m)	$R_0$
شعاع انتهای ناحیه مخروطی (m)	$R_f$
شعاع خروجی اکستروزن (m)	$R_e$
شعاع لوله پرتا (m)	$R_{lt}$

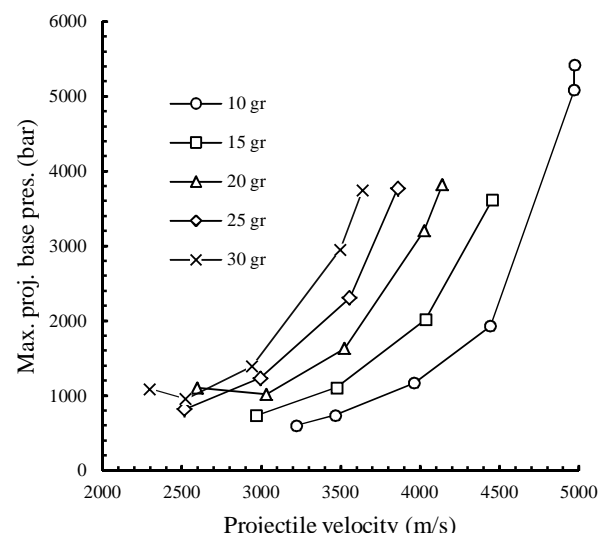


Fig. 8 Velocity and max. base pressure in optimum points with different projectile masses

شکل 8 سرعت و فشار بینه‌سازی وارد بر پرتا به در نقاط بینه‌سازی با جرم‌های پرتا به مختلف

می‌دهند، این امکان فراهم می‌آید که با تنظیم مناسب پارامترهای موثر بر عملکرد پرتاگر، آزمایش‌ها با کمترین فشار وارد بر پرتا به، در سرعت‌های معلوم و با جرم‌های مشخص انجام گردد.

## 7- فهرست علائم

( $\text{m}^2$ ) سطح مقطع A

اصطکاک بر پیستون	sP	سطح احتراقی ( $m^2$ )	$S_b$
غاز سبک بر پرتابه	S1	زمان (s)	$t$
غاز در لوله پرتاب بر پرتابه	S2	متوسط دما (K)	$T$
اصطکاک بر پرتابه	S3	سرعت ( $ms^{-1}$ )	$V$
پشت پرتابه	Sb	حجم محفظه احتراق ( $m^3$ )	$V_c$
جلوی پرتابه	Sf	حجم گاز سبک ( $m^3$ )	$V_{LG}$
<b>8- مراجع</b>			
[1] L. C. Chhabildas, M. D. Knudson, <i>Techniques to launch projectile plates to very high velocities</i> , in: <i>High-Pressure Shock Compression of Solids VIII</i> , Eds., pp. 143-199; Springer, 2005.		حجم اولیه گاز سبک ( $m^3$ )	$V_{LG_i}$
[2] H. Krier, M. Summerfield, Interior ballistics of guns, <i>Progress in Astronautics and Aeronautics</i> , Vol. 66, 1979.		ضخامت دانه‌های سوتخت (m)	$w_0$
[3] H. Bernier, <i>Scaling and Designing Large-Bore Two-Stage High Velocity Guns</i> , in: <i>High-Pressure Shock Compression of Solids VIII</i> , Eds., pp. 37-83; Springer, 2005.		توان تغییر شکل ( $kgm^2 s^{-3}$ )	$\dot{W}_i$
[4] A. Stilp, V. Hohler, E. Schneider, K. Weber, Debris cloud expansion studies, <i>International Journal of Impact Engineering</i> , Vol. 10, No. 1, pp. 543-553, 1990.		توان غلبه بر اینرسی ( $kgm^2 s^{-3}$ )	$\dot{W}_k$
[5] A. J. Piekutowski, Characteristics of debris clouds produced by hypervelocity impact of aluminum spheres with thin aluminum plates, <i>International Journal of Impact Engineering</i> , Vol. 14, No. 1, pp. 573-586, 1993.		توان عدم پیوستگی سرعت سطح یک ( $kgm^2 s^{-3}$ )	$\dot{W}_{S1}$
[6] N. Kawai, K. Tsurui, S. Hasegawa, E. Sato, Single microparticle launching method using two-stage light-gas gun for simulating hypervelocity impacts of micrometeoroids and space debris, <i>Review of Scientific Instruments</i> , Vol. 81, No. 11, pp. 115105, 2010.		توان عدم پیوستگی سرعت سطح دو ( $kgm^2 s^{-3}$ )	$\dot{W}_{S2}$
[7] A. H. Jones, W. Isbell, C. Maiden, Measurement of the Very-High-Pressure Properties of Materials using a Light-Gas Gun, <i>Journal of Applied Physics</i> , Vol. 37, No. 9, pp. 3493-3499, 1966.		توان غلبه بر اصطکاک داخلی ( $kgm^2 s^{-3}$ )	$\dot{W}_{S3}$
[8] G. Lyzenga, T. J. Ahrens, Multiwavelength optical pyrometer for shock compression experiments, <i>Review of Scientific Instruments</i> , Vol. 50, No. 11, pp. 1421-1424, 1979.		مکان (m)	X
[9] N. Holmes, J. Moriarty, G. Gather, W. Nellis, The equation of state of platinum to 660 GPa (6.6 Mbar), <i>Journal of Applied Physics</i> , Vol. 66, No. 7, pp. 2962-2967, 1989.		علمای بونانی	
[10] T. Moritoh, N. Kawai, K. G. Nakamura, K. I. Kondo, Projectile acceleration aiming at velocities above 9 km/s by a compact gas gun, <i>Shock Compression of Condensed Matter-2001: 12th APS Topical Conference</i> . Vol. 620, No. 1, AIP Publishing, 2002.		نیمزاویه مخروطی (rad)	$\alpha$
[11] W. Crozier, W. Hume, High-velocity light-gas gun, <i>Journal of Applied Physics</i> , Vol. 28, No. 8, pp. 892-894, 1957.		ضریب انتقال حرارت	$\beta$
[12] A. E. Seigel, <i>The theory of high speed guns</i> , DTIC Document, 1965.		نسبت ظرفیت گرمایی گاز	$\gamma$
[13] B. Lexow, M. Wickert, K. Thoma, F. Schäfer, M.H. Poelchau, T. Kenkmann, The extra-large light-gas gun of the Fraunhofer EMI: Applications for impact cratering research, <i>Meteoritics &amp; Planetary Science</i> , Vol. 48, No. 1, pp. 3-7, 2013.		پارامتر توزیع جرم	$\delta$
[14] A. C. Mueller, E. M. Fernando, <i>The Dynamics of Projectiles Launched by a Two-Stage Light-Gas Gun</i> , DTIC Document, 1991.		حجم کمکی ( $m^3 kg^{-1}$ )	$\eta$
[15] H. F. Swift, <i>Light-Gas Gun Technology: A Historical Perspective</i> , in: <i>High-Pressure Shock Compression of Solids VIII</i> , Eds., pp. 1-35; Springer, 2005.		چگالی ( $kgm^{-3}$ )	$\rho$
[16] W. Stephenson, R. Knapp, <i>Performance of a two-stage launcher using hydrogen</i> , DTIC Document, 1962.		تنش تسلیم ( $kgm^{-1}s^{-2}$ )	$\Sigma$
[17] R. Patin, R. Courter, A one-dimensional simulation model for a two-stage light gas gun with deformable piston, <i>Aerospace Sciences Meetings in: 24th Aerospace Sciences Meeting</i> , Eds.: American Institute of Aeronautics and Astronautics, 1986.		تنش تسلیم برشی ( $kgm^{-1}s^{-2}$ )	$\sigma_m$
[18] O. K. Heiney, Ballistics Applied to Rapid-Fire Guns, <i>Progress in Astronautics &amp; Aeronautics</i> , Vol. 66, 1979.		ضریب اصطکاک	$\mu_m$
[19] G. Lengellé, J. Duterque, J. Trubert, <i>Combustion of solid propellants</i> , DTIC Document, 2002.		زیرنویس‌ها	
[20] I. A. Johnston, <i>The Noble-Abel equation of state: Thermodynamic derivations for ballistics modelling</i> , DTIC Document, 2005.		ابتداي	0
[21] M. B. Giles, N. A. Pierce, Analytic adjoint solutions for the quasi-one-dimensional Euler equations, <i>Journal of Fluid Mechanics</i> , Vol. 426, pp. 327-345, 2001.		متوسط	av
[22] S. Kalpakjian, S. R. Schmid, C.-W. Kok, <i>Manufacturing processes for engineering materials</i> : Pearson-Prentice Hall, 2008.		خروجی اکسیتروزن	e
[23] D. Baş, İ. H. Boyaci, Modeling and optimization I: Usability of response surface methodology, <i>Journal of Food Engineering</i> , Vol. 78, No. 3, pp. 836-845, 2007.		اکسیتروزن	ex
[24] M. A. Bezerra, R. E. Santelli, E. P. Oliveira, L. S. Villar, L. A. Escalera, Response surface methodology (RSM) as a tool for optimization in analytical chemistry, <i>Talanta</i> , Vol. 76, No. 5, pp. 965-977, 2008.		نهایي	f
		غاز سبک	LG
		اولیه	i
		غاز درون لوله پرتاب	l
		لوله پرتاب	lt
		غاز پیشرانه	p
		لوله پمپ	pt
		پیستون	P
		غاز پیشرانه بر پیستون	P1
		اصطکاک بر پیستون	P2
		غاز سبک بر پیستون	P3
		اکسیتروزن بر پیستون	P4
		پشت پیستون	Pb
		جلوی پیستون	Pf
		جنس پیستون	Pm